

# Introduction à l'apprentissage profond

Filière Geo Data Science : UE2 Analyse de Données

---

Juste Raimbault<sup>1</sup> (d'après les slides de L. Landrieu)

2024-2025

<sup>1</sup>LaSTIG, IGN-ENSG-UGE

**ENSG**  
Géomatique

ÉCOLE NATIONALE  
DES SCIENCES  
GÉOGRAPHIQUES

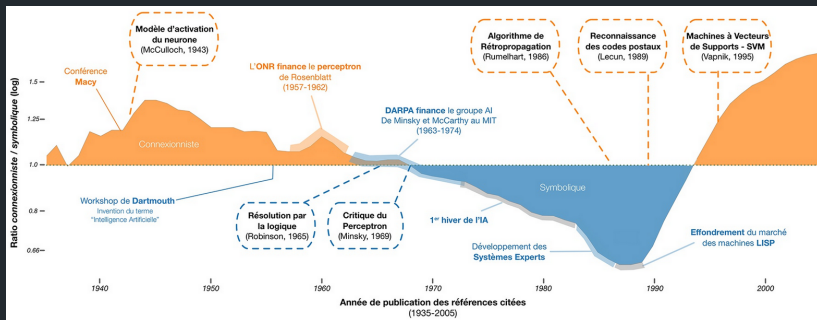
Introduction

Réseaux de Neurones Artificiels

Entraînement

Implémentation

Données raster



[Cardon et al., 2018]

- **Apprentissage profond** : une sous-classe de méthodes en apprentissage machine, basée sur des réseaux de neurones
- **Construction endogène** des descripteurs, contrairement au ML classique (ex. SIFT en analyse d'image)
- Relativement simple théoriquement, succès grâce à la quantité de données et à la puissance de calcul (implémentations GPU)
- Pertinent et efficace pour : perception (image, vidéo, son, texte, 3D), données relationnelles (graphe), analyse sémantique, génération
- Non pertinent pour : optimisation (inverse, convexe), problèmes avec algorithme exact, environnements critiques, données tabulaires, géométrie, combinatoire

Introduction

Réseaux de Neurones Artificiels

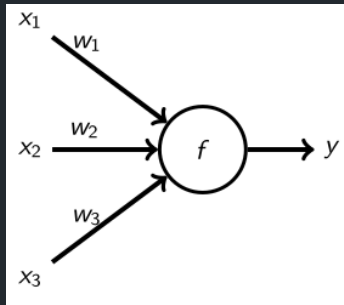
Entraînement

Implémentation

Données raster

Transforme des input  $x_i$  en une output  $y$  par une combinaison linéaire ( $w_i$  poids et  $b$  biais) et une fonction  $f$  non linéaire

$$y = f \left( \sum_i w_i x_i + b \right)$$



**Rectified Linear Unit :**  $f = ReLu(x) = \max(0, x)$

**Softmax :** transforme en distribution de probabilité

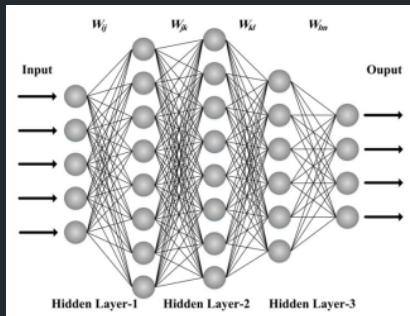
$$f(\vec{x}) = (\exp(x_i) / \sum_j \exp(x_j))_i$$

**Sigmoïde :** lissage:

$$f(x) = \frac{1}{1 + \exp(-x)}$$

Combinaison des neurones en réseau :

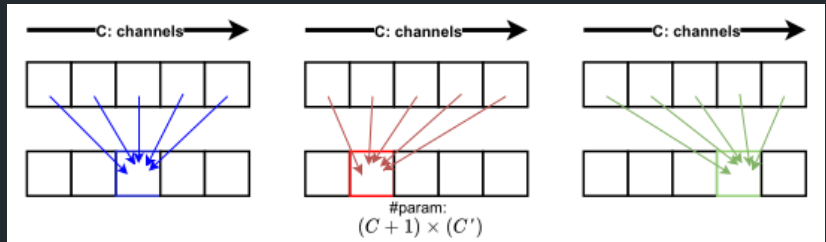
- **Largeur** : neurones dans une couche ; **Profondeur** : nombre de couches
- Réseaux intermédiaires : “maps” capturant des descripteurs de l'entrée



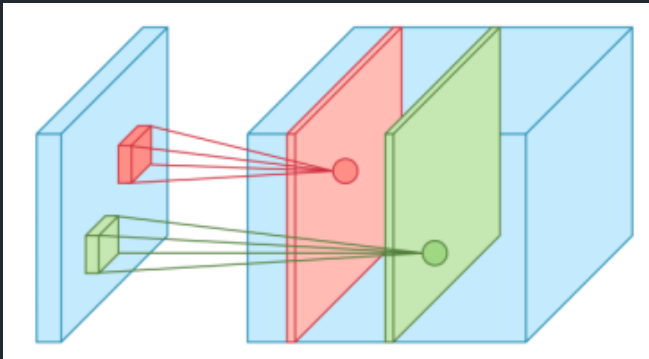


Produit matriciel  $F(X) = WX + B$

→ brique élémentaire d'architectures plus compliquées

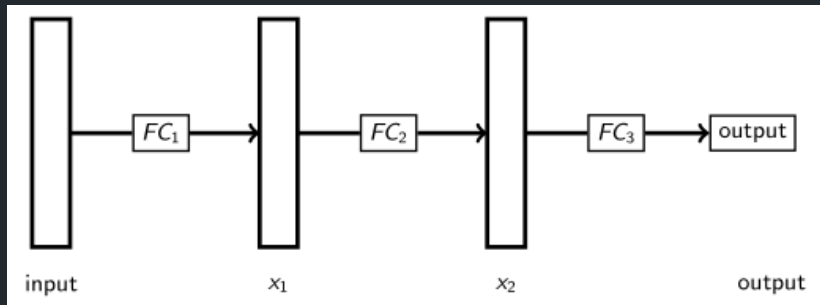


- Pour des données image : représentation des données en tenseur (map:  $D_{in} \times H \times W \rightarrow D_{out} \times H \times W$ )
- Passage d'un filtre local pour ne pas connecter tous les pixels
- Apprentissage d'un filtre par channel dans l'image cible :  
 $params = (K \times K \times D_{in} + 1) \times D_{out}$

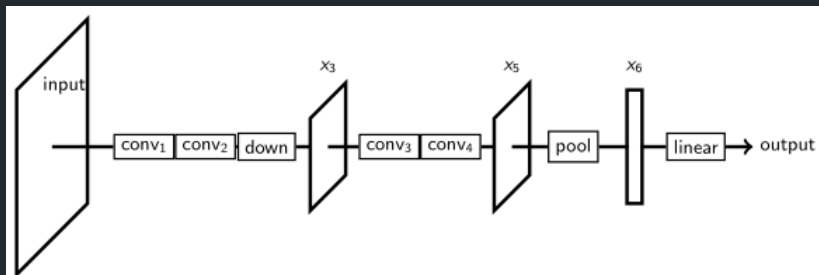


Couches linéaires :

$$x_{i+1} = \text{ReLU}(\text{Norm}(FC_i(x_i)))$$



- Blocs de convolution :  $x_{i+1} = \text{ReLU}(\text{Norm}(\text{Conv}_i(x_i)))$
- Blocs de downsampling
- Blocs de pooling : max ou moyenne sur la dimension spatiale



Introduction

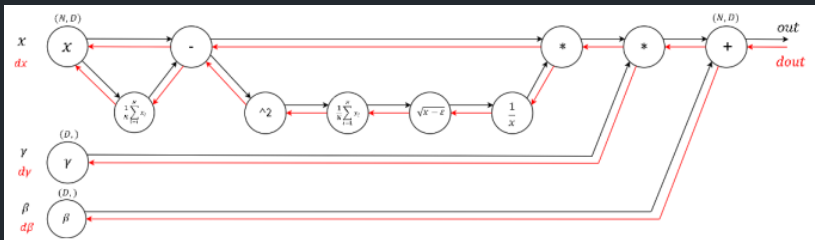
Réseaux de Neurones Artificiels

Entraînement

Implémentation

Données raster

- Fonction de Loss : classique (cross-entropy) ou plus spécifique (ex. Triplet Loss)
- Pour optimiser les poids, descente du gradient de la fonction de Loss
- Algorithme de back-propagation : calcul des couches (forward) gardés en mémoire, puis retour pour le calcul du gradient (dérivée d'une composée)
- **Batch Stochastic Gradient Descent** : gradient le long de samples ("batch") aléatoires (accéléré avec un momentum et un adaptive learning rate)



Introduction

Réseaux de Neurones Artificiels

Entraînement

**Implémentation**

Données raster

- Packages python pour les architectures, l'optimisation et les calculs GPU: Tensorflow, Pytorch
- Grande banque de couches, architectures, fonctions d'activation, algorithmes d'optimisation, etc.
- Communauté active





- epoch : une itération sur le dataset complet
- choix des hyperparamètres, de l'optimisateur
- suivi des performances au fil des itérations

```
model = create_model(options)
optimizer = SGD(model.parameters)
for i_epoch in range(n_epochs):
    perf_train = train_one_epoch(model, optimizer)
    if i_epoch % n_epoch_test == 0:
        perf_test = test(model)
```

- `batch` : sample des données, avec `gt` ground truth correspondante
- `criterion` : fonction de Loss
- `Evaluation` : idem sans calculer le gradient

```
def train_one_epoch(model, optimizer):  
    dataset = dataloader(train_set, batch_size = 16)  
    metric_meter = empty_meter()  
    for batch, gt in dataset:  
        model.grad = 0  
        pred = model.run(batch)  
        loss = criterion(pred, gt)  
        loss.backward()  
        optimizer.step()  
        accuracy = compute_accuracy(pred, gt)  
        metric_meter.add(loss, accuracy)  
    return metric_meter.values()
```

## Spécification de l'architecture selon des briques prédéfinies

```
def MyModel(nn.Module):  
    def __init__(parameters):  
        #set up layers  
        layer1 = Conv2D(in_channel=3, out_channel=32 ...)  
        layer2 = ...  
        self.layers = nn.Sequential([layer1, layer2])  
  
    def forward(input):  
        #apply model to input  
        return self.layers(input)
```

Introduction

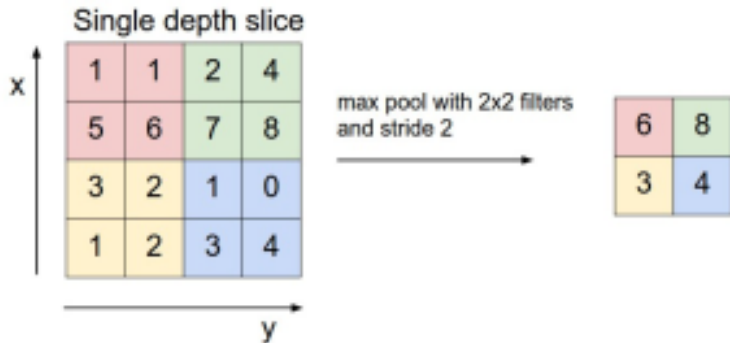
Réseaux de Neurones Artificiels

Entraînement

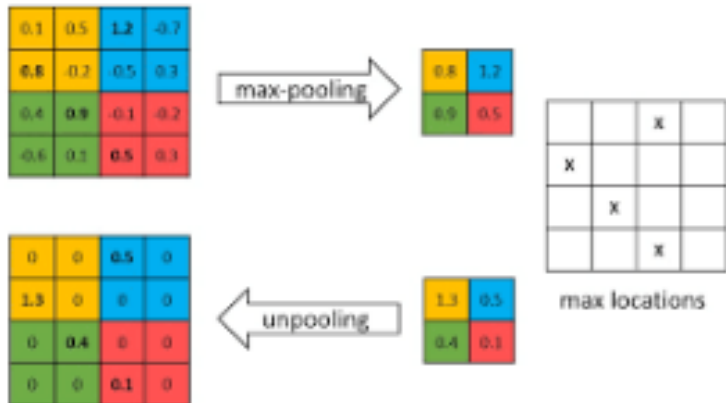
Implémentation

Données raster

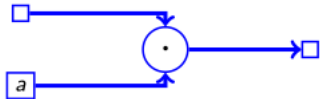
Diminue la dimension de l'image



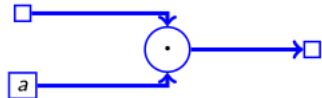
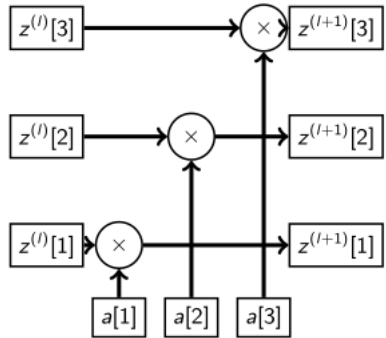
Augmente la dimension, à partir d'une carte des indices du pooling



- 
- The diagram shows three input boxes on the left:  $z^{(l)}[3]$ ,  $z^{(l)}[2]$ , and  $z^{(l)}[1]$ . Below these are three coefficient boxes:  $a[1]$ ,  $a[2]$ , and  $a[3]$ . Arrows point from each input box to a circular multiplier node ( $\times$ ). The multiplier for  $z^{(l)}[1]$  also receives an arrow from  $a[1]$ . The multiplier for  $z^{(l)}[2]$  also receives an arrow from  $a[2]$ . The multiplier for  $z^{(l)}[3]$  also receives an arrow from  $a[3]$ . Arrows from each multiplier node point to the right, leading to three output boxes:  $z^{(l+1)}[3]$ ,  $z^{(l+1)}[2]$ , and  $z^{(l+1)}[1]$ . Additionally, an arrow points from the multiplier for  $z^{(l)}[2]$  to the multiplier for  $z^{(l)}[3]$ , and an arrow points from the multiplier for  $z^{(l)}[1]$  to the multiplier for  $z^{(l)}[2]$ , indicating a cascaded or shared structure.

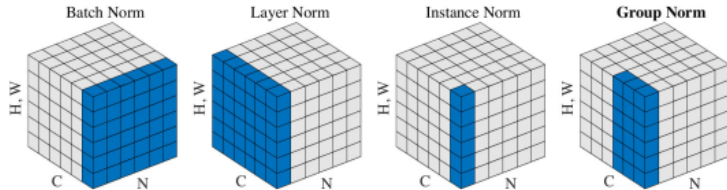


- Problème de la perte d'information exponentielle avec la profondeur du réseau
- Réinjection de l'input pour les réseaux très profonds



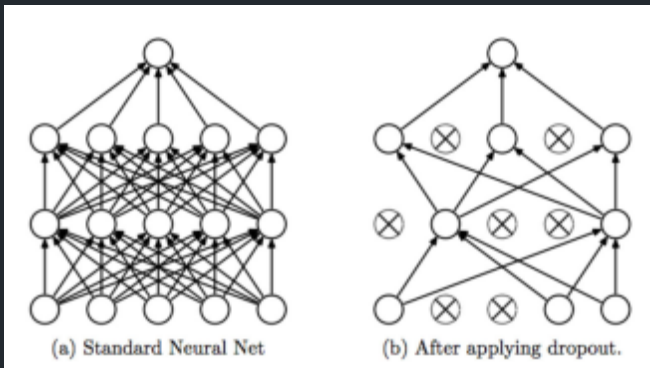


- Limite entre descripteur (encoder) et output (decoder) est floue : besoin d'ajouter des étapes de normalisation dans le réseau
- Selon différentes dimensions : BatchNorm, LayerNorm, InstanceNorm, GroupNorm

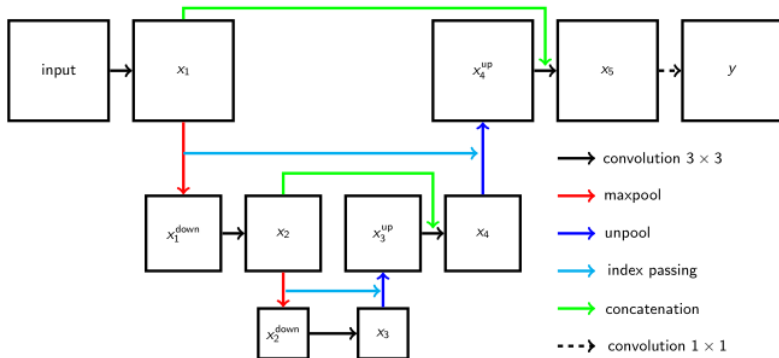


$H, W$  : size of feature map     $C$  : number of channels     $N$  : size of batch  
credit: GroupNorm

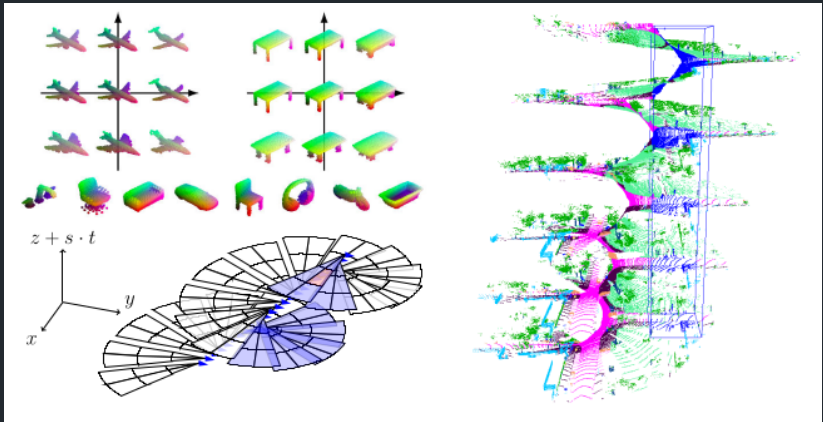
- Régularisation pour diminuer l'overfitting
- Extinction de neurones aléatoires pendant l'entraînement



Exemple d'architecture pour la segmentation sémantique des images : classification pour chaque pixel



## Segmentation sémantique de nuages de points 3D dynamiques [Loiseau et al., 2022]



Production automatique de cartes d'usage du sol  
[Postadjian et al., 2017] (cf données OCS-GE en production)

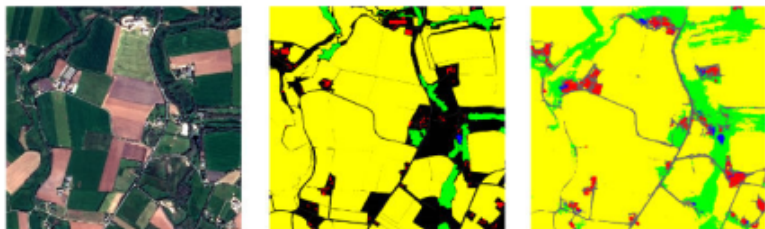
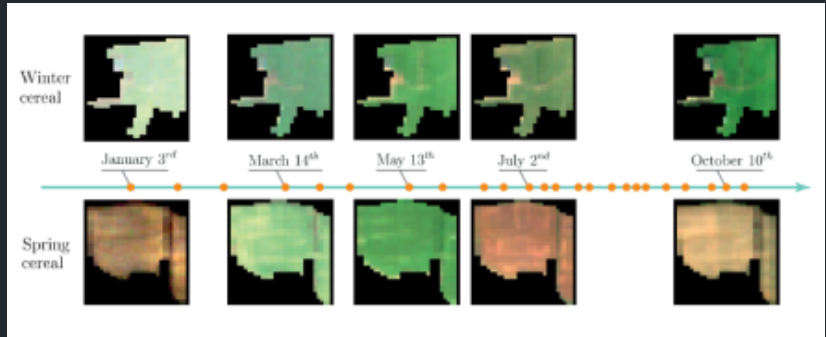


Figure 1. Coverage of the training data. From left to right:  
Spot 6 image, training data, classification. ● *no training data*, ● *buildings*, ● *roads*, ● *crops*, ● *forest*, ● *water*.

Classification de parcelles agricoles à partir de séries temporelles satellite [Garnot et al., 2020]



Classification du type de parcelle agricoles dans des données d'image satellite Sentinel-2 [Garnot et al., 2020]

Notebook python sur Google Colab :

<https://colab.research.google.com/drive/1BMX84dvLf6Uwcj8YnG16r9T0f7LKcx0X>



Cardon, D., Cointet, J.-P., and Mazières, A. (2018).

**La revanche des neurones.**

*Réseaux*, 211(5):173–220.



Garnot, V. S. F., Landrieu, L., Giordano, S., and Chehata, N. (2020).

**Satellite image time series classification with pixel-set encoders and temporal self-attention.**

In *Proceedings of the IEEE/CVF Conference on Computer Vision and Pattern Recognition*, pages 12325–12334.





Loiseau, R., Aubry, M., and Landrieu, L. (2022).

**Online segmentation of lidar sequences: Dataset and algorithm.**

In *European Conference on Computer Vision*, pages 301–317.  
Springer.



Postadjian, T., Le Bris, A., Sahbi, H., and Mallet, C. (2017).

**Investigating the potential of deep neural networks for large-scale classification of very high resolution satellite images.**

*ISPRS Annals of the Photogrammetry, Remote Sensing and Spatial Information Sciences*, 4:183–190.